

۱۷۸



دانشگاه بوعلی سینا

۱۳۹۰/۱۱/۱۷
۸۰

دانشکده علوم پایه

گروه فیزیک

پایان نامه:

برای دریافت درجه کارشناسی ارشد
در رشته فیزیک (گرایش حالت جامد)

عنوان:

مطالعه خواص پیک های اقماری بصورت قابعی از دما و فشار
در ترکیبات بیسکو



استاد راهنما:

دکتر منوچهر بابایی پور

۱۳۸۷/۱۰/۱۴

استاد مشاور:

دکتر محمد امیری

پژوهشگر:

مژگان خانجانیان پاک

زمستان ۸۶

همه امتیازهای این پایان نامه به دانشگاه بوعلی سینا همدان تعلق دارد. در صورت استفاده از تمام یا بخشی از مطالب پایان نامه در مجلات، کنفرانس‌ها و یا سخنرانی‌ها باید نام دانشگاه بوعلی سینا (یا استاد یا استادان راهنمای پایان نامه) و نام دانشجو با ذکر مأخذ و ضمن کسب مجوز کتبی از دفتر تحصیلات تكمیلی دانشگاه ثبت شود. در غیر این صورت مورد پیگرد قانونی قرار خواهد گرفت.



دانشگاه بوعلی سینا

دانشکده علوم پایه

گروه فیزیک

پایان نامه کارشناسی ارشد فیزیک

گرایش حالت جامد

تحت عنوان:

مطالعه خواص پیک های اقماری بصورت تابعی از دما و فشار در ترکیبات بیسکو

استاد راهنما:

دکتر منوچهر بابایی پور

استاد مشاور:

دکتر محمد امیری

پژوهشگر:

مژگان خانجانیان پاک

تصویب و ارزشیابی توسط کمیته ارزیابی پایان نامه:

۱- استاد راهنما: دکتر منوچهر بابایی پور استادیار دانشگاه بوعلی سینا

۲- استاد مشاور: دکتر محمد امیری استادیار دانشگاه بوعلی سینا

۳- استاد مدعو: دکتر فرهاد جعفرپور همدانی استاد دانشگاه همدان

۴- استاد مدعو: دکتر محمد الهی استاد دانشگاه رازی



دانشکده علوم

گروه فیزیک

جلسه دفاع از پایان نامه کارشناسی ارشد

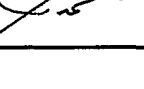
تحت عنوان:

مطالعه خواص پیک های اقماری بصورت تابعی از دما و فشار در ترکیبات بیسکو

به ارزش ۶ واحد در روز دوشنبه مورخ ۸۶/۱۰/۳ ساعت ۱۴-۱۶ در محل آمفی تئاتر ۱ و با حضور

اعضاي هيات داوران زير برگزار گردید و با نمره ۹۰ درجه علي..... ارزیابی شد.

ترکيب اعضای هیأت داوران:

ردیف	سمت در هیأت داوران	نام و نام خانوادگی	موتبه علمی - گروه / دانشکده / دانشگاه	محل امضاء
۱	استاد راهنما	دکتر منوچهر بابایی پور	استادیار - فیزیک / علوم / بیولوژی سینا	
۲	استاد مشاور	دکتر محمد امیری	استادیار - فیزیک / علوم / بیولوژی سینا	
۳	استاد مدعو (داخلی)	دکتر فرهاد جعفرپور همدانی	دانشیار - فیزیک / علوم / بیولوژی سینا	
۴	استاد مدعو	دکتر محمد الهی	دانشیار - فیزیک / علوم / رازی	

پیچش نمود کرده بایی هر پیچز
در آغاز دشوار اند
نه در میان.

گه نقد حکم به خانواده ام گه

پاس خدایی را که دروازه‌ی روشن علم را به روی بشریت گشود
و هم او را پاس که مرادین راه رهمنون ساخت حیات نمود و به
مقصد رسانید.

برخود و نفعه می‌دانم که از استاد محترم جانب آقای دکتر بیانی پور
که بمواره راهنمای و راهنمای من بوده‌ام شکر و قدردانی عالیم.

بچشمین از کلیه اساتید گروه فنیک دانشگاه بوعلی سینا بویشه آقای
دکتر امیری گال شکر را دارم.

نام : مژگان	نام خانوادگی دانشجو : خانجانیان پاک
عنوان پایان نامه :	
مطالعه خواص پیک‌های اقماری بصورت تابعی از دما و فشار در ترکیبات BSCCO	
استاد مشاور : دکتر محمد امیری	استاد راهنما : دکتر منوچهر بابایی پور
گرایش : حالت جامد	رشته : فیزیک
دانشکده : علوم پایه	دانشگاه : بولی سینا
تاریخ دفاعیه : ۱۳۸۶/۱۰/۳	تعداد صفحه : ۱۰۶
کلید واژه ها: ابررساناهای دما بالا، Bi-۲۲۱۲، ساختارهای مدوله شده نامتباین ، پیک اقماری	
چکیده :	
<p>ترکیب Bi-۲۲۱۲ (یکی از سه فاز ابررسانای پایه بریلیوم) به سبب دمای گذار بالایی که دارد تاحد زیادی از جنبه های مختلف مورد مطالعه قرار گرفته است. فازعمومی به صورت $\text{Bi}_2\text{Sr}_2\text{CaCu}_2\text{O}_{8+x}$ و $\text{Bi}_2\text{Sr}_2\text{Ca}_{n-1}\text{Cu}_n\text{O}_{2n+4+x}$ فرمول بندی شده است که سه فاز $\text{Bi}_2\text{Sr}_2\text{Ca}_2\text{Cu}_3\text{O}_{10+x}$ با توجه به مقادیر مختلف n تعریف شده‌اند. مهمترین ویژگی Bi-۲۲۱۲ که آن را از سایر فازهای بیسکو مجزا می‌کند مدولاسیون ساختاری منظم یک بعدی است که بهدلیل تغییر مقدار اکسیژن در ساختار آن اتفاق می‌افتد. ساختارهای بلوری مدوله شده از آن دسته از ساختارهایی هستند که در آنها اتم‌ها از افت و خیزهای در مکان ، عدد اشغال و/یا حرکت‌های حرارتی حاصل می‌شوند. در حالت کلی اگر دوره‌ی افت و خیزها با سلول واحد منطبق باشد نتیجه یک «ابرساختار» خواهد بود در غیر اینصورت یک ساختار مدوله شده‌ی متباین بدست می‌آید. یکی از اهداف مطالعه کنونی ، تحقیق و بررسی وجود ، مکان و بویژه خواص پیک‌های اقماری بصورت تابعی از دما و فشار اکسیژن است. به همین منظور نتایج آزمایش‌های پراش نوترونی را که در دمای اتاق تا 750°C و در فشارهای مختلف ۲mbar تا ۴۰۰mbar انجام شده بود ، با استفاده از روش پالایش رایتلود و با استفاده از نرم‌افزار GSAS مورد بررسی قرار داده‌ایم. در این راستا ضمن تعیین ساختار میانگین توانستیم پارامترهای شبکه و نیز بسیاری از پیک‌های اصلی موجود در ساختار میانگین را شناسایی کنیم. علاوه بر این ضمن شناسایی بعضی از پیک‌های اقماری که وجود ساختار مدوله شده را تأکید می‌کرد به بررسی برخی از خواص این پیک‌های اقماری پرداختیم.</p>	

فهرست مطالب

(مقدمه)

۲ مقدمه

فصل اول) ابررسانایی

۴	۱ تاریخچه ابررسانایی
۷	۲-۱ عناصر ابررسانا
۸	۳-۱ تئوری BCS و معرفی جفت های کوپر
۱۰	۴-۱ خواص عمومی ابررساناهای
۱۲	۵-۱ واکنش ابررساناهای در برابر میدان مغناطیسی
۱۴	۱-۵-۱ ابررسانای نوع I
۱۴	۱-۵-۲ ابررسانای نوع II
۱۶	۶-۱ ابررساناهای گرم
۱۷	۷-۱ کشف ابررساناهای گرم
۲۴	۸-۱ خواص ابررساناهای گرم
۲۵	۹-۱ معرفی پرووسکایت ها
۲۷	۱۰-۱ ساختار کوپریت ها
۲۹	۱۱-۱ ابررسانایی در دمای اتاق

فصل دوم) بیسکو BSCCO

۳۱	۱-۲ کشف ابررساناهای Bi-Sr-Ca-Cu-O
۳۵	۱-۱-۲ فازهای ممکن
۳۷	۲-۱-۲ خواص ابررساناهای بریلیوم
۳۸	۲-۲ دسته های ۲۲۱۲
۴۰	۳-۲ ساختارهای متباین
۴۲	۴-۲ ساختارهای مدوله شده
۴۵	۱-۴-۲ مدولاسیون ساختاری در فاز ۲۲۱۲
۴۹	۲-۴-۲ منشاء مدولاسیون در فاز ۲۲۱۲
۵۰	۵-۲ نقش پراش فاز ۲۲۱۲ و ظهور پیک های اقماری
۵۵	۶-۲ آنالیز ساختار مدوله شده ۲۲۱۲ در فضای چهار بعدی
۵۷	۱-۶-۲ ساختارهای چهار بعدی

۵۸.....	۲-۶-۲ شبه انتقال شبکه
فصل سوم) پالایش رایتولد	
۶۳.....	۱-۳ هوگو رایتولد
۶۴.....	۲-۳ پالایش رایتولد
۶۴.....	۱-۲-۳ شکل پیک
۶۵.....	۲-۲-۳ پهنهای پیک
۶۵.....	۳-۲-۳ چرخش ترجیحی
۶۶.....	۴-۲-۳ پالایش
۶۷.....	۳-۳ کمترین مربعات
۶۷.....	۱-۳-۳ بیان مساله
۶۷.....	۲-۳-۳ حل به روش کمترین مربعات
۶۹.....	۴-۳ معرفی GSAS
فصل چهارم) مطالعه خواص پیک های اقماری در بیسکو	
۷۱.....	۱-۴ معرفی
۷۴.....	۲-۴ پالایش داده ها با استفاده از GSAS
۸۴.....	۳-۴ نتایج بدست آمده از Origin
۸۸.....	۴-۴ آنالیز داده های هم دما
۹۳.....	۴-۴ آنالیز داده های هم فشار
۹۵.....	۶-۴ آنالیز مقدار ظرفیت اکسیژن
۹۸.....	۷-۴ آنالیز رفتار و شدت پیک های اقماری
۱۰۳.....	۸-۴ بحث و نتیجه گیری
مراجع	
۱۰۴.....	مراجع
۱۰۶.....	چکیده به زبان انگلیسی

فهرست اشکال

..... ۴ شکل ۱-۱ کامر لینگ اونز
..... ۶ شکل ۲-۱ والتر مایسنر
..... ۶ شکل ۳-۱ ارائه دهنده گان تئوری S-BCS
..... ۷ شکل ۴-۱ جدول تناوبی مندلیف
..... ۱۰ شکل ۵-۱ نمودار مقاومت الکتریکی بر حسب دما
..... ۱۱ شکل ۶-۱ نمودار دما-میدان مغناطیسی-چگالی جریان
..... ۱۲ شکل ۷-۱ حالت میانی برای یک ابررسانا
..... ۱۳ شکل ۸-۱ حالت مخلوط به ازای تغییر شدت میدان مغناطیسی
..... ۱۴ شکل ۹-۱ وابستگی حالت ابررسانای نوع I به دما و میدان مغناطیسی
..... ۱۴ شکل ۱۰-۱ وابستگی حالت ابررسانای نوع II به دما و میدان مغناطیسی
..... ۱۷ شکل ۱۱-۱ بدنورز و مولر
..... ۱۸ شکل ۱۲-۱ ساختار بلورین پرووسکایت مکعبی مرکز پر
..... ۱۹ شکل ۱۳-۱ ساختار بلورین $\text{La}_{2-x}\text{Sr}_x\text{CuO}_4$
..... ۲۰ شکل ۱۴-۱ ساختار بلوری ترکیب $\text{YBa}_2\text{Cu}_3\text{O}_7$
..... ۲۲ شکل ۱۵-۱(a) ساختار بلوری تبکو (b) ساختار بلوری بیسکو
..... ۲۳ شکل ۱۶-۱ نمودار مقاله های منتشر شده در زمینه ای ابررسانای طی قرن بیستم
..... ۲۶ شکل ۱۷-۱ ساده ترین نوع ساختار پرووسکایت
..... ۲۷ شکل ۱۸-۱ ساختار کلی ABX_3 در کوپریت ها
..... ۲۷ شکل ۱۹-۱ ساختار پرووسکایت لایه لایه ای نوعی از کوپریت ها
..... ۳۳ شکل ۱-۲ منحنی مقاومت بر حسب دما در سیستم های Bi-Sr-Ca-Cu-O
..... ۳۶ شکل ۲-۲ سلول های بنیادی در ۲۰۱، ۲۲۱۲، ۲۲۲۳ و ۲۲۴۱
..... ۳۶ شکل ۳-۲ یاخته های بنیادی فازهای مختلف بیسکو
..... ۳۸ شکل ۴-۲ سلول بنیادی $\text{Bi}_2\text{Sr}_2\text{Ca}_1\text{Cu}_2\text{O}_{8+x}$
..... ۳۹ شکل ۵-۲ یاخته های $\text{Bi}-2212$
..... ۴۱ شکل ۶-۲ یک ترکیب رشد درونی یافته های متباین با ۲ زیر سیستم A و B
..... ۴۳ شکل ۷-۲ بخشی از یک بلور با تقارن انتقالی ۲ بعدی
..... ۴۴ شکل ۸-۲ بلوری با تقارن انتقالی ۲ بعدی به علاوه هی مدولاسیون در مکان اتم ها
..... ۴۵ شکل ۹-۲ تصویر HRTEM گرفته شده از فاز ۲۲۱۲

..... ۴۶	شکل ۱۰-۲ تصویر HRTEM از فاز ۲۲۱۲ با معرفی ابریاخته
..... ۴۷	شکل ۱۱-۲ مهره های داخل یک جعبه بطور منظم
..... ۴۸	شکل ۱۲-۲ محل کاتیون ها در فاز ۲۲۱۲
..... ۵۲	شکل ۱۳-۲ نمودار پراش Bi-۲۲۱۲ در دمای اتاق با معرفی پیک های اقماری
..... ۵۵	شکل ۱۴-۲ الگوی پراش الکترونی فاز ۲۲۱۲
..... ۷۵	شکل ۱-۴ نمودار پراش بیسکو در دمای اتاق
..... ۷۶	شکل ۲-۴ الگوی پالایش یافته در دمای اتاق با معرفی پیک های اقماری
..... ۷۷	شکل ۳-۴ الگوی پالایش یافته در دمای اتاق که محل پیک های اقماری در آن حذف شده
..... ۷۷	شکل ۴-۴ معرفی فاکتورهای R
..... ۷۸	شکل ۵-۴ نتیجه بدست آمده قبل از پالایش برای داده‌ی شماره ۲
..... ۷۸	شکل ۶-۴ نتیجه بدست آمده پس از پالایش برای داده‌ی شماره ۲
..... ۷۹	شکل ۷-۴ نتایج بدست آمده برای داده‌ی شماره ۳
..... ۷۹	شکل ۸-۴ نتایج بدست آمده برای داده‌ی شماره ۴
..... ۷۹	شکل ۹-۴ نتایج بدست آمده برای داده‌ی شماره ۵
..... ۸۰	شکل ۱۰-۴ نتایج بدست آمده برای داده‌ی شماره ۶
..... ۸۰	شکل ۱۱-۴ نتایج بدست آمده برای داده‌ی شماره ۷
..... ۸۰	شکل ۱۲-۴ نتایج بدست آمده برای داده‌ی شماره ۸
..... ۸۰	شکل ۱۳-۴ نتایج بدست آمده برای داده‌ی شماره ۹
..... ۸۱	شکل ۱۴-۴ نتایج بدست آمده برای داده‌ی شماره ۱۰
..... ۸۱	شکل ۱۵-۴ نتایج بدست آمده برای داده‌ی شماره ۱۱
..... ۸۱	شکل ۱۶-۴ نتایج بدست آمده برای داده‌ی شماره ۱۲
..... ۸۱	شکل ۱۷-۴ نتایج بدست آمده برای داده‌ی شماره ۱۳
..... ۸۲	شکل ۱۸-۴ نتایج بدست آمده برای داده‌ی شماره ۱۴
..... ۸۲	شکل ۱۹-۴ نتایج بدست آمده برای داده‌ی شماره ۱۵
..... ۸۴	شکل ۲۰-۴ نمودار پراش بیسکو در گستره‌ی ۱ تا ۴ آنگستروم
..... ۸۵	شکل ۲۱-۴ نمودار پراش بیسکو در دمای اتاق به همراه اندیس های میلر مربوط به پیک ها
..... ۸۶	شکل ۲۲-۴ منحنی برای پیک ها
..... ۸۸	شکل ۲۳-۴ نمودار ^a بر حسب فشار در دمای ثابت ۶۰۰
..... ۸۹	شکل ۲۴-۴ نمودار ^a بر حسب فشار در دمای ثابت ۷۰۰
..... ۸۹	شکل ۲۵-۴ نمودار ^a بر حسب فشار در دمای ثابت ۷۵۰

.....	شکل ۲۶-۴ نمودار a بر حسب فشار در دمای ثابت ۰۰۶	۸۹
.....	شکل ۲۷-۴ نمودار a بر حسب فشار در دمای ثابت ۷۰۰	۹۰
.....	شکل ۲۸-۴ نمودار a بر حسب فشار در دمای ثابت ۷۵۰	۹۰
.....	شکل ۲۹-۴ نمودار c بر حسب فشار در دمای ثابت ۰۰۷	۹۰
.....	شکل ۳۰-۴ نمودار c بر حسب فشار در دمای ثابت ۷۵۰	۹۱
.....	شکل ۳۱-۴ نمودار b بر حسب فشار در ۳ دمای متفاوت	۹۱
.....	شکل ۳۲-۴ نمودار b بر حسب فشار در ۳ دمای متفاوت	۹۲
.....	شکل ۳۳-۴ نمودار c بر حسب فشار در ۳ دمای متفاوت	۹۲
.....	شکل ۳۴-۴ پارامترهای شبکه به صورت تابعی از دما در فشار ثابت ۰۰۲mbar	۹۳
.....	شکل ۳۵-۴ نمودار a بر حسب دما در ۴ فشار مختلف	۹۴
.....	شکل ۳۶-۴ نمودار b بر حسب دما در ۴ فشار مختلف	۹۴
.....	شکل ۳۷-۴ نمودار c بر حسب دما در ۴ فشار مختلف	۹۴
.....	شکل ۳۸-۴ نمودار عنصرسنجی اکسیژن بر حسب دما در ۴ فشار مختلف	۹۵
.....	شکل ۳۹-۴ نمودار عنصرسنجی اکسیژن بر حسب فشار در ۳ دمای مختلف	۹۵
.....	شکل ۴۰-۴ معرفی پیک های اقماری بیسکو در دمای اتاق	۹۹
.....	شکل ۴۱-۴ نمودار مکان پیک (۰۰۲۱۱) بر حسب دما در فشار ثابت ۰۰۲ میلی بار	۱۰۰
.....	شکل ۴۲-۴ نمودار مکان پیک (۰۰۲۱۱) بر حسب فشار در ۳ دمای مختلف	۱۰۰
.....	شکل ۴۳-۴ نمودار مکان پیک (۰۰۲۱۱) بر حسب دما در ۴ فشار مختلف	۱۰۱
.....	شکل ۴۴-۴ نمودار شدت پیک (۰۰۲۱۱) بر حسب فشار در دمای ۰۰۶	۱۰۲
.....	شکل ۴۵-۴ نمودار شدت پیک (۰۰۲۱۱) بر حسب فشار در دمای ۰۰۷	۱۰۲
.....	شکل ۴۶-۴ نمودار شدت پیک (۰۰۲۱۱) بر حسب فشار در دمای ۰۰۷۵	۱۰۲
.....	شکل ۴۷-۴ نمودار شدت پیک (۰۰۲۱۱) بر حسب دما در فشار ۰۰۲	۱۰۲

فهرست جداول

جدول ۱-۲ پارامترهای یاخته‌ی بنیادی در فازهای بیسکو	۳۷
جدول ۲-۲ مختصات (y,z) کاتیون ها در بیسکو	۴۸
جدول ۱-۴ لیست داده ها	۷۳
جدول ۲-۴ اطلاعات ساختار پالایش یافته‌ی داده ی شماره ۱	۸۳
جدول ۳-۴ مقایسه‌ی پارامترهای شبکه از دو روش GSAS و Origin در دمای اتاق.	۸۷
جدول ۴-۴ پارامترهای a ، b ، c و مقدار دقیق ظرفیت اکسیژن در داده ها	۹۷
جدول ۵-۴ برخی از پیک های اصلی و مقدار d محاسبه و مشاهده شده شان	۹۸
جدول ۶-۴ برخی از پیک های اتماری و مقدار d محاسبه و مشاهده شده شان	۱۰۰

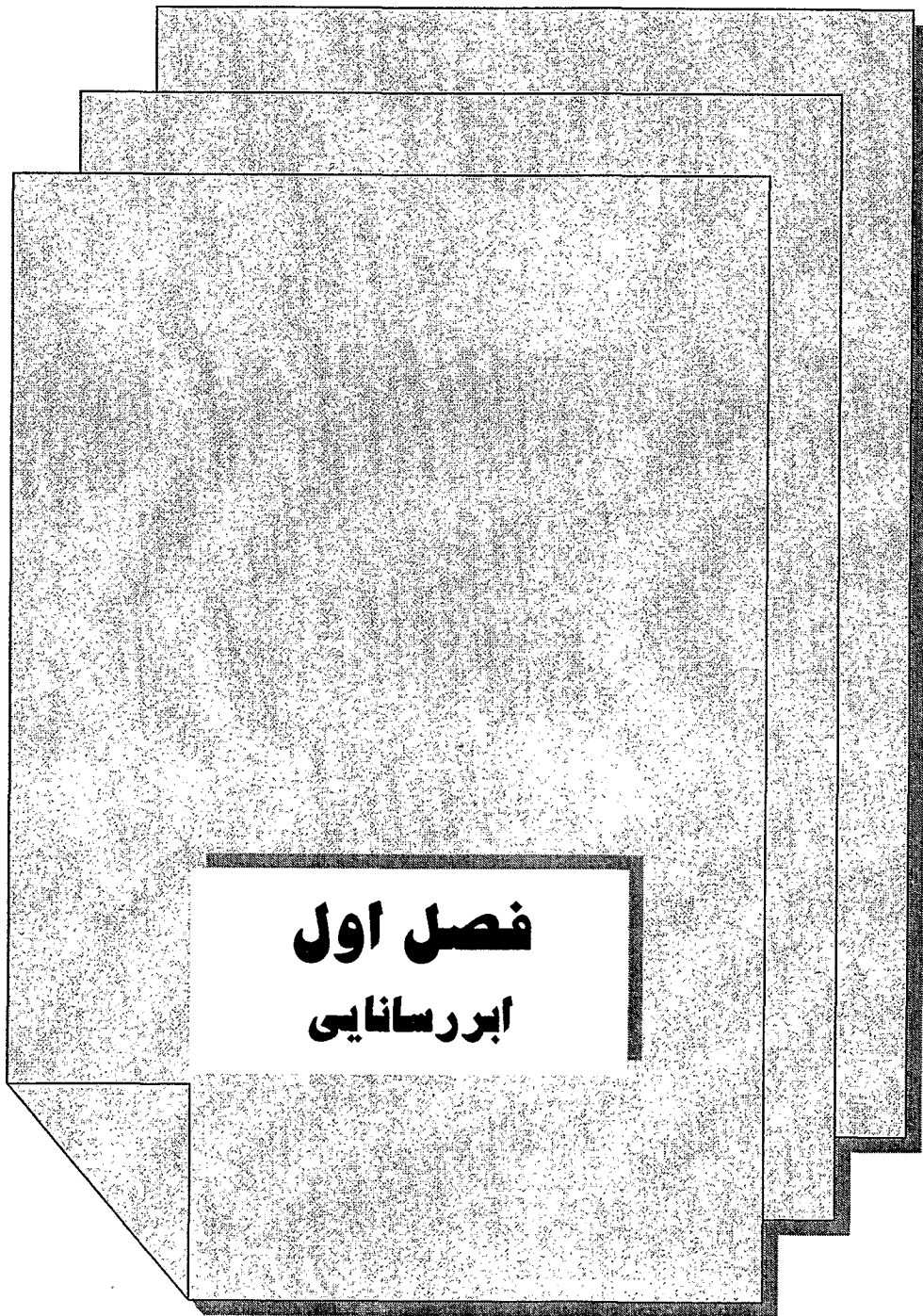
مقدمة

بی‌گمان کشف ابررسانایی خصوصاً ابررساناهای گرم از برجسته‌ترین کشفیات تاریخ علم بشمار می‌آید و تلاش بی‌وقفه‌ی محققین برای دست‌یابی به ابررساناهایی با دمای بحرانی بالاتر بویژه طی سال‌های ۱۹۰۰ تا ۲۰۰۰، گویای همین مساله است. علی‌رغم بیان تئوری‌های مختلف، هنوز هم چگونگی رفتار ابررساناهای در هاله‌ای از ابهام قرار دارد لذا تحقیق درباره‌ی آنها می‌تواند ما را در درک بیشتر یاری کند. در همین راستا در این پایان‌نامه به مطالعه‌ی $Bi-2212$ (یکی از سه فاز ابررسانای پایه بریلیوم) بویژه پیک‌های اتمی که درنتیجه‌ی مدولاسیون ساختاری در الگوی پراش آن‌ظاهر می‌شوند در دما و فشارهای مختلف پرداخته ایم.

در فصل اول، ابتدا خلاصه‌ای از تاریخچه‌ی کشف ابررساناهای و خواص عمومی آنها را بیان کرده سپس ابررساناهای گرم و ساختارشان را مورد بررسی قرار داده‌ایم. در فصل دوم، بطور اخص به معرفی ابررساناهای پایه بریلیوم بویژه فاز 2212 پرداخته، ساختار مدوله شده‌ی متباین این ابررسانا را معرفی نموده و نهایتاً ساختار $Bi-2212$ را در یک فضای چهاربعدی تجزیه و تحلیل کرده‌ایم.

فصل سوم، رایتولد و روش پالایش او و نیز روش کمترین مربعات که نرم افزار GSAS بر اساس این روش‌ها استوار است را معرفی می‌کند.

در فصل چهارم که فصل پایانی این رساله است مجموعه آنالیزها و پالایش‌هایی که بوسیله‌ی نرم افزار GSAS بر روی داده‌های پراش نوترون از پودر بیسکو انجام شده و همچنین نتایج بدست آمده را در مقایسه با اطلاعات قبلی گزارش کرده‌ایم.



فصل اول

ابررسانایی

۱-۱ تاریخچه‌ی ابررسانایی

ابررسانایی به برخی خواص الکتریکی و مغناطیسی بعضی از عناصر و مواد که در درجه حرارت های پایین در آنها بوجود می آید اطلاق می شود. این خاصیت اولین بار توسط اونز^۱ فیزیکدان هلندی، کشف شد. در سال ۱۹۰۸ او توانست هلیوم را در دمای ۴ کلوین (۴۵۲ درجه زیر صفر فارنهایت) به مایع تبدیل کند. همین مساله زمینه ساز تحقیقات گسترده‌ای روی مواد در دماهای نزدیک به صفر مطلق شد.^[۱]



شکل ۱-۱ کامرلینگ اونز.

^۱Onnez

در سال ۱۹۱۱، او نز تحقیق پیرامون خواص الکتریکی در دماهای فوق العاده سرد را آغاز کرد. سالها این مساله برای همه مشهود بود که دما کاهش می‌یابد مقاومت الکتریکی مواد کم می‌شود اما اینکه در دمای صفر کلوین دقیقاً چه مقداری دارد مشخص نبود. برخی از محققین مثل ویلیام کلوین^۲ معتقد بودند الکترون‌هایی که در یک رسانا جریان دارند در این دما کاملاً متوقف می‌شوند. او نز جریان الکتریکی را از یک سیم جیوه‌ای بسیار خالص عبور داد در حالی که دما را دائماً کاهش می‌داد. وی موقعی غافلگیر شد که مشاهده کرد در دمای $4/2$ کلوین مقاومت الکتریکی بطور ناگهانی صفر شد. کامرلینگ او نز معتقد بود که: «جیوه حالت جدیدی را به خود گرفته» و با توجه به خواص الکتریکی عجیب‌ش، این حالت را «حالت ابررسانایی» نامید. او اهمیت کشف خود را حتی از نظر پتانسیل تجاری به جامعه‌ی محققین شناسانید؛ یک رسانای الکتریکی بدون مقاومت که می‌توانست جریان را بدون هیچ گونه اتلافی حمل کند. وی در یکی از آزمایش‌هایش جریانی را از یک سیم حلقه‌ای از جنس سرب که تا دمای 4 کلوین سرد شده بود عبور داد. یک سال بعد جریان همچنان بدون کمترین اتلافی موجود بود. بهمین دلیل او نز نام این نوع جریان را که ابررساناهای حمل می‌کنند جریان‌های ماندگار^۳ نهاد. کامرلینگ او نز بخاطر کشف ابررسانایی در سال ۱۹۱۳ موفق به دریافت جایزه‌ی نوبل شد.

در سال ۱۹۳۳، میسнер^۴ و اوشنفلد^۵ دریافتند که ابررساناهای چیزی بیش از فقط یک رسانای عالی جریان الکتریکی‌اند. علاوه بر این خاصیت، آنها فهمیدند که ابررساناهای مانع نفوذ میدان مغناطیسی به درون ابررسانا می‌شوند و این مساله سبب بوجود آمدن جریانی می‌شود که بتواند میدان مغناطیسی داخل ابررسانا را خنثی کند. این خاصیت که «اثر مایسner» نام دارد یکی از خواص مشهور ابررساناهاست. اثر مایسner فقط زمانی که میدان مغناطیسی نسبتاً ضعیف باشد اتفاق می‌افتد درواقع میدان مغناطیسی بزرگ می‌تواند به داخل ابررساناهای نفوذ کرده و خاصیت ابررسانایی را از بین ببرد.

^۲William Kelvin

^۳Persistent current

^۴Meissner

^۵Ochsenfeld



شکل ۲-۱ والتر مایسنر.

محققین در سال ۱۹۵۷ تلاش خود را برای پرده برداری از راز ابررساناهای آغاز کردند. سه فیزیکدان آمریکایی به نام های جان باردین^۶، لئون کوپر^۷ و رابرت شرایفر^۸ مدلی را گسترش دادند که هنوز هم به عنوان یک توصیف مناسب برای توجیه رفتار ابررساناهای ارایه می شود. مدل در قالب ایده های پیشترفته‌ی کوانتومی بیان شده و بطور کلی فرض می کند که الکترون‌ها در یک ابررسانا به یک حالت پایه‌ی کوانتومی چگالیده شده و بصورت جمعی با هم حرکت می کنند. این تئوری که بنام BCS مشهور است از حروف ابتدای نام هایشان برگرفته شده است. باردین، کوپر و شرایفر در سال ۱۹۷۲ جایزه نوبل را از آن خود کردند.



شکل ۲-۱

ارائه دهنده‌گان تئوری BCS

^۶John Bardeen

^۷Leon Cooper

^۸Robert Schrieffer